

- [5] Степанов С.И. Нестационарные механизмы голограммической записи в фоторефрактивных кристаллах. В сб.: Оптическая голограмма с записью в термохимических средах. / Ред. Ю.Н. Денисюк. Л.: Наука, 1986. С. 17-30.
- [6] Erdmann A., Kowarschik R. // IEEE J. Quant. El. 1988. V. 24. P. 155-161.

Институт электрофизики  
УО АН СССР,  
Свердловск

Поступило в Редакцию  
1 июля 1990 г.

Письма в ЖТФ, том 16, вып. 20

26 октября 1990 г.

01; 07

© 1990

ЧИСЛЕННОЕ МОДЕЛИРОВАНИЕ КОНЦЕНТРАЦИОННЫХ  
И ТЕМПЕРАТУРНЫХ ВОЛН  
В ХИМИЧЕСКИ АКТИВНОМ ГАЗЕ  
ПОД ДЕЙСТВИЕМ ОПТИЧЕСКОГО ИЗЛУЧЕНИЯ

М.И. Калиниченко, В.А. Трофимов

В настоящее время интенсивно исследуется проблема оптической бистабильности (см., например, [1-6]), что связано со многими ее практическими приложениями, например, для задач хранения и обработки информации. При этом особый интерес представляют колебательные режимы изменения параметров среды. Как правило, такие режимы, во-первых, позволяют отобрать из имеющихся математических моделей наиболее полно описывающую реальный процесс; во-вторых, они представляют непосредственный интерес для синергетики [5]; в-третьих, для проблемы обработки информации: очевидно, в этом случае они вредны, и необходимо знать способы их устранения.

В настоящем сообщении на основе численного моделирования исследуется динамика развития периодических режимов изменения концентраций газов и температуры среды в процессе стимулированной оптическим излучением химической реакции. Заметим, что экспериментально колебательные режимы изменения интенсивности оптического излучения на выходе из химически активной кюветы наблюдались в [5]. В [6] в приближении тонкого слоя они обосновывались развитием термодиффузионных потоков вещества без учета химической кинетики. В [5] также указывалось на возможность возникновения аналогичного поведения характеристик среды в условиях развитой химической реакции в отсутствии диффузионных и термодиффузионных потоков газа. Однако динамика этого процесса

не рассматривалась, а возможные его режимы в оптически тонкой кювете с химически активным газом были представлены качественно. Ниже изложены результаты исследования динамики развития колебательных режимов в оптически толстой кювете, которая описывается следующей системой безразмерных уравнений:

$$\begin{aligned}\frac{\partial N}{\partial t} &= (1-N)^2 \exp(-1/T) - kN \exp(-T_c/T) + D_N \Delta N, \\ \mathcal{E}(\frac{\partial T}{\partial t}) &= qI \delta_c(T)N - T + T_{out} + D_T \Delta T, \\ (\frac{\partial I}{\partial z}) + I \delta_c(T)N \delta &= 0,\end{aligned}\quad (1)$$

с граничными условиями

$$N \Big|_{z=0} = T \Big|_{z=0} = 0, \quad I \Big|_{z=0} = \varphi(t). \quad (2)$$

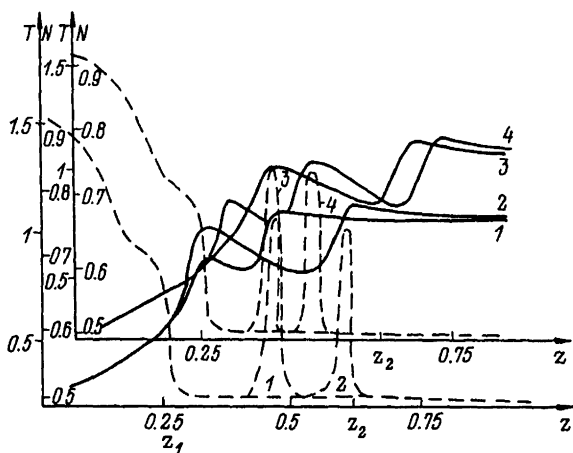
Здесь  $t = t' k_A N_*$ ,  $t'$  - время,  $k_A$  - константа прямой реакции,  $N_*$  - бозазмерная максимальная концентрация исходных веществ. Температура  $T$  измеряется в энергиях активации обратной реакции  $T_A$ ,  $T_c$  - отношение энергий активации обратной реакции к  $T_A$ ,  $N$  - концентрация продукта реакции, а  $(1-N)$  исходных веществ (схема реакции  $A + B \xrightleftharpoons[k_c]{k_A} C$ ,  $K = k_c/(k_A N_*)$ ,  $\mathcal{E}$ -характеризует отношение скорости уменьшения температуры смеси за счет теплооттока из области, занятой пучком, вызванного поперечной диффузией (слагаемое  $T - T_{out}$ ) к скорости прямой реакции,  $T_{out}$  - температура невозмущенной среды. Данный подход общепринят и его часто используют [2, 7].  $D_N, T$  - коэффициенты диффузии соответственно  $N$  и  $T$  вдоль  $z$ . Они определяются как коэффициентами диффузии газов и тепла, так и продольным размером кюветы. Помимо этого диффузию газа можно изменять за счет его концентрации.  $\Delta = \partial^2 / \partial z^2$ ,  $q$  - отношение начальной мощности светового пучка к характерной мощности теплопотерь,  $\delta_c(T)$  - коэффициент поглощения излучения интенсивности  $I$  продуктом реакции, имеющий вид  $\delta_c(T) = \exp(-T_H/T)$ , где  $T_H = T_{no}/T_A$ ,  $T_{no}$  характеризует энергию активации поглощения излучения (конкретная зависимость  $\delta_c(T)$  может быть весьма разнообразной [8]),  $\delta$  - безразмерный коэффициент поглощения оптического излучения, который зависит от сечения поглощения газа, его средней концентрации и длины кюветы.

Систему (1-2) дополним начальными условиями

$$T|_{t=0} = T_0, \quad N|_{t=0} = N_0, \quad (3)$$

где  $N_0$  находится из уравнения равновесного состояния реакции

$$(1-N_0)^2 \exp(-1/T_0) - k N_0 \exp(-T_c/T_0) = 0. \quad (4)$$



Распределения  $N$  (сплошная кривая) и  $T$  (пунктирная кривая) вдоль  $z$  при  $\varphi = 5$ ,  $\delta = 8$  в моменты времени  $t = 60$  (1), 83 (2), 106 (3), 114 (4).

Отметим, что при выполнении условия  $\delta \gg D_{N,T}$  диффузией вдоль  $z$  можно пренебречь (в наших расчетах  $D_{N,T} \sim 10^{-3}$  не оказывали практического влияния на поведение системы по сравнению с  $D_{N,T} = 0$ ). Пренебрежение влиянием диффузии также широко встречается в работах (см., например, [9-11]), посвященных исследованию нестационарного взаимодействия оптического излучения, например, с полупроводниковыми пластинами.

Нами анализировалось поведение системы „среда – пучок“ для случая  $T_c > 1$  и  $\mathcal{E} \ll 1$ , что является необходимым условием для релаксационных колебаний в (1-4). Типичный характер изменения  $N$  и  $T$  представлен на рисунке для  $T_c = 2$ ,  $T_h = 1$ ,  $k = 1$ ,  $\mathcal{E} = 0.01$ ,  $T_{out} = 0.22$ ,  $\varphi = 5$ ,  $\delta = 8$ . Отметим, что расчеты для  $D_{N,T} = 10^{-3}$  и  $D_{N,T} = 0$  практически совпадают.

Уравнения (1-4) решались с использованием симметричной нелинейной разностной схемы. Из исследования точечной модели следует, что колебания возможны лишь в ограниченном интервале величин  $\varphi I$  для наших значений (2.8; 3.12). В оптически толстом случае это приводит к следующему эффекту.

Пусть интенсивность оптического излучения такова, что  $\varphi I$  превышает необходимое для колебаний значение. Тогда вдоль оси  $z$  возможно наличие трех областей. В первой  $0 < z < z_1$  колебаний нет. Однако из-за поглощения при  $z = z_1$  значение  $\varphi I$  снижается до необходимой для колебаний величины, и в области  $z_1 < z < z_2$  они развиваются. При  $z > z_2$  значение  $\varphi I$  недостаточно для стимулирования собственных колебаний, но изменения поглощения при  $z_1 < z < z_2$  приводят к колебаниям интенсивности и вызывают соответствующие изменения  $N$  и  $T$  (значительно более

выраженные для  $N$ ). В результате вдоль  $z$ , начиная с  $z$ , распространяются волны исходного вещества, сопровождающиеся "вытеснением" продукта реакции, и области высокой температуры (см. рисунок). Их распространение замедляется с ростом  $z$ , что объясняется понижением средней по  $t$  величины  $qI$  вдоль  $z$  из-за поглощения. Как показывают расчеты, для оптически тонкого случая период колебаний при  $qI = 3.12$  равен 40 единицам времени и в 3 раза меньше, чем для  $qI = 2.8$ . Заметим, что в оптически толстом случае интенсивность на выходе из среды колеблется.

В заключение отметим, что с некоторыми изменениями уравнения (1-4) могут найти применение и в задачах оптической бистабильности в полупроводниковых пластинках [1, 12]. В этом случае можно объяснить имеющиеся в экспериментах осцилляции интенсивности на выходе из полупроводниковой пластиинки температурной зависимостью коэффициента поглощения, сечения перехода носителей заряда в верхнее и в основное состояние. Известно также, что колебания выходной интенсивности получаются при воздействии света на полупроводниковую пластинку [13] и при наличии временной модуляции интенсивности входного импульса [14], что здесь не требуется.

### Список литературы

- [1] Гиббс Х. Оптическая бистабильность. М.: Мир, 1988. 518 с.
- [2] Алимов Д.Т. и др. // Квантовая электроника. 1984. Т. 11. № 5. С. 923-932.
- [3] Nitzen A., Ross J. // J. of Chemical Phys. 1973. V. 59. N 1. P. 241-251.
- [4] Ораевский А.Н., Проценко И.Е. // Тр. ФИАН АН СССР. 1988. Т. 187. С. 144-177.
- [5] Бункин Ф.В., Кириченко Н.А., Лукьянчик Б.С. // Квантовая электроника. 1984. Т. 11. № 6. С. 1183-1198.
- [6] Бункин Ф.В., Кириченко Н.А. и др. Препринт ИПМ АН СССР. 1986. № 40.
- [7] Lambdorff M. et al. // Z. Phys. (B) - Condensed Matter. 1986. V. 64. P. 409.
- [8] Лазерные системы / Под ред. В.Н. Чуботаева. Новосибирск. 1980. 240 с.
- [9] Lindberg M., Koch S. et al. // Phys. Rev. A. 1986. V. 33. N 1. P. 407-415.
- [10] Henneberger F., Rossman H. // Phys. Stat. Sol. (b). 1984. V. 121. P. 685.
- [11] Gibbs H., Olbright G. et al. // Phys. Rev. A. 1985. V. 32. N 1. P. 692-694.
- [12] Балкарей Ю.И. и др. // Квантовая электроника. 1987. Т. 14. № 1. С. 128-134.

- [13] Rosanov N.N. et al. // Phys. Stat. Sol. (b). 1988. V. 150. N 2. P. 545-555.  
[14] Шмелев В.М. и др. // Хим. физ. 1989. Т. 8. № 3. С. 318-322.

Поступило в Редакцию  
2 декабря 1989 г.

Письма в ЖТФ, том 16, вып. 20

26 октября 1990 г.

07

© 1990

НАБЛЮДЕНИЕ УЗКОПОЛОСНОЙ ЛЮМИНЕСЦЕНЦИИ  
КОМПЛЕКСОВ ИОНОВ С ОДНИМ  
 $3d$ -ЭЛЕКТРОНОМ В КРИСТАЛЛАХ

М.Г. Зуев

Поиск активаторов, обладающих набором новых спектроскопических свойств является актуальной задачей. Среди переходных металлов группы железа узкополосная люминесценция, обусловленная интерконфигурационными переходами, известна у ионов  $V^{3+}$ . В спектрах ионов с одним  $3d$ -электроном нет узких линий из-за того, что уровни имеют одну мультиплетность и, следовательно, нет запрещенных по спину переходов. В настоящей работе сообщается о наблюдении узкополосной люминесценции, обусловленной ионами  $V^{4+}$  ( $d^1$ ), имеющих короткую связь  $V^{4+}-O$  (1.58 Å) в смешанных кристаллах  $MV_x^{4+}V_{1-x}^{5+}Ta_2O_9$  и  $MV_x^{4+}V_{1-x}^{5+}Nb_2O_9$ , где  $M = Y, La, Gd, Lu$ .

Образцы получены по методике [1]. По данным ЭПР в кристаллах, где  $M = Y, La$ , наблюдаются сигналы, центр тяжести которых соответствует  $g$ -фактору, равному 1.96-1.97. Количество парамагнитных центров (ПЦ) возрастает при переходе от  $Y$  к  $La$  в два раза и практически одинаково для tantalатов и ниобатов. Наблюдаемые спектры характерны для ионов  $V^{4+}$ . Сверхтонкая структура (СТС) обусловлена взаимодействием  $d^1$ -электрона  $V^{4+}$  с собственным ядром ( $I = 7/2$ ). Регистрируемые сигналы описываются аксиальным спин-гамильтонианом с параметрами:

$$g_L = 1.984, A_L = 58 \text{ Гс}, \\ g_H = 1.915, A_H = 173 \text{ Гс}.$$

В спектрах ЭПР СТС смазывается при значительном электрон-электронном взаимодействии. Отсутствие связи между степенью разрешения и числом ПЦ позволяет предположить, что ионы  $V^{4+}$  находятся, по крайней мере, в двух неэквивалентных позициях: